



Instituto Superior Técnico

Matemática Computacional

Projeto de Matemática Computacional

1º Semestre 2018/2019

MEBiom

Ana Matoso, nº 89787

Madalena Cerqueira, nº 89819

Maria Fernandes, nº 89822

Rita Almeida, nº 90180

Índice

1. GRUPO I	3
1.1.	3
1.2.	3
2. GRUPO II	6
2.1.	6
2.2.	8
2.3.	8
3. GRUPO III	10
3.1.	10
3.2.	10
3.3.	12
3.4.	13
4. GRUPO IV	15
4.1.	15
4.2.	15

1. Grupo I

1.1.

Ver ficheiro **[metsec2.m]**. A função *metsec2* recebe uma função, dois números reais a e b um número positivo e “ e ” um número natural n .

Devolve uma aproximação do zero da função dada segundo o método da secante com iteradas iniciais a e b com critérios de paragem o erro “ e ” ou o número de iteradas máximo, n .

1.2.

Para calcular o primeiro instante em que a carga elétrica é reduzida para metade do seu valor inicial, recorreu-se ao método da secante implementado na alínea anterior. Foram calculadas iteradas até obter uma aproximação com erro absoluto inferior a 10^{-8} . Criou-se uma função $f(t)$ a partir da função $q(t)$ que tem como expressão:

$$f(t) = q(t) - \frac{q(0)}{2}$$

Como q é C^∞ , f também o é e, portanto, também é C^2 .

Para se usar o método da secante verificou-se primeiro se o método era convergente. As condições de convergência são, para um certo intervalo $[a, b]$:

1. $f(a)f(b) < 0$;
2. $f'(t) \neq 0, \forall t \in [a, b]$;
3. $f''(t) \leq 0 \vee f''(t) \geq 0, \forall t \in [a, b]$;
4. $\left| \frac{f(a)}{f'(a)} \right| < b - a \wedge \left| \frac{f(b)}{f'(b)} \right| < b - a$.

De facto, com as iteradas dadas no enunciado, a função não verifica as condições todas, no entanto, assumindo que o método é convergente calculou-se três iteradas. Ora, se considerarmos $[a, b] = [x_3, x_2]$, sendo x_2 a segunda iterada calculada e x_3 a terceira ($x_3 = 0.016667744020192$ e $x_2 = 0.025557930265620$), a função, nesse intervalo já verifica todas as condições de convergência:

1. ver **[relatoriomc.m]**, secção 2 - justificação de convergência(variável cond1).
2. ver gráfico 1 abaixo criado com o código de **[relatoriomc.m]**, secção 2 - justificação de convergência
3. ver gráfico 1 abaixo criado com o código de **[relatoriomc.m]**, secção 2 - justificação de convergência
4. ver **[relatoriomc.m]**, secção 2 - justificação de convergência.(variável cond4).

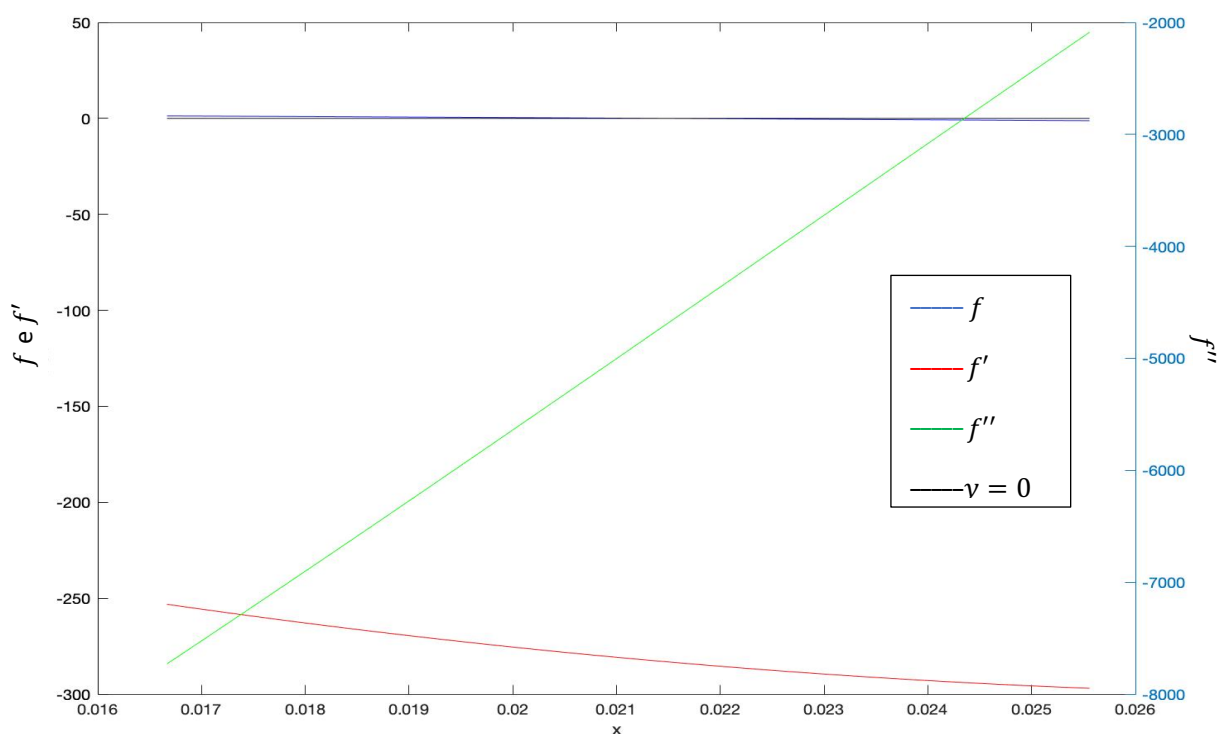


Gráfico 1 - Função f e suas derivadas

Assim conclui-se que pelo menos a partir destas duas iteradas o método é convergente.

Para o cálculo das iteradas utilizou-se o código do ficheiro **[metsec2.m]**. Com L , R , C , t_0 e t_{-1} constantes dadas no enunciado, e e o valor do erro absoluto que a aproximação tem de satisfazer.

$q(t)$ é a função que exprime a carga elétrica do circuito em função do tempo e f é a função que permite calcular o instante em que a carga elétrica é reduzida a metade do seu valor inicial.

Escolheu-se 100 como o valor máximo de iteradas de forma a ter a certeza que a condição de paragem fosse exclusivamente o erro absoluto e não o número máximo de iteradas. De facto, como a tabela só tem 8 linhas em vez de 100 (o que aconteceria se o critério de paragem fosse o número máximo de iteradas), o critério de paragem foi unicamente o erro absoluto. O instante pretendido é aquele em que a função f se anula.

Assim basta introduzir f , t_0, t_{-1} , e e 100 como *input* no código do ficheiro **[metsec.m]**, secção 1 - Grupo 1, para ter como *output* os dados da tabela seguinte.

Tabela 1 - Iteradas e respetivo erro absoluto

Número de iteradas	Aproximação do zero de f	Erro absoluto
1	0.079530012367804	0.079530012367804
2	0.025557930265620	0.053972082102184
3	0.016667744020192	0.008890186245428
4	0.021279983313024	0.004612239292832
5	0.021459510601779	0.0001795272887552893
6	0.021450739342393	$8.771259386249758 \times 10^{-6}$
7	0.021450751909140	$1.256674663635549 \times 10^{-8}$
8	0.021450751910056	$9.165099235097784 \times 10^{-13}$

Assim uma aproximação com erro inferior a 10^{-8} é $\bar{t} \approx 0.021450751910056$.

2. Grupo II

2.1.

Pretende-se demonstrar que: $B^T W B c = B^T W y$.

Partindo da seguinte equação:

$$Q(c) = \sum_{k=1}^n w_k (y_k - g(x_k))^2$$

$$Q(c) = \sum_{k=1}^n w_k (y_k - \sum_{i=1}^m c_i \varphi_i(x_k))^2$$

$$Q(c) = \sum_{k=1}^n w_k (y_k^2 - 2y_k \sum_{i=1}^m c_i \varphi_i(x_k) + (\sum_{i=1}^m c_i \varphi_i(x_k))^2)$$

$$Q(c) = \sum_{k=1}^n w_k (y_k^2 - 2y_k \sum_{i=1}^m c_i \varphi_i(x_k) + (\sum_{i=1}^m c_i \varphi_i(x_k))^2)$$

$$Q(c) = \sum_{k=1}^n w_k y_k^2 - \underbrace{2 \sum_{k=1}^n y_k w_k \sum_{i=1}^m c_i \varphi_i(x_k)}_A + \underbrace{\sum_{k=1}^n w_k \left(\sum_{i=1}^m c_i \varphi_i(x_k) \right)^2}_B$$

$$A = \sum_{k=1}^n y_k w_k \sum_{i=1}^m c_i \varphi_i(x_k) = \sum_{k=1}^n \sum_{i=1}^m y_k w_k c_i \varphi_i(x_k) = \sum_{i=1}^m c_i \sum_{k=1}^n \varphi_i(x_k) y_k w_k$$

$$\begin{aligned} B &= \sum_{k=1}^n w_k \left(\sum_{i=1}^m c_i \varphi_i(x_k) \right)^2 = \sum_{k=1}^n w_k \left(\sum_{i=1}^m c_i \varphi_i(x_k) \right) \left(\sum_{i=1}^m c_i \varphi_i(x_k) \right) = \\ &= \sum_{k=1}^n w_k \left(\sum_{j,i=1}^m c_i c_j \varphi_i(x_k) \varphi_j(x_k) \right) = \sum_{j,i=1}^m c_i c_j \left(\sum_{k=1}^n \varphi_i(x_k) \varphi_j(x_k) w_k \right) \end{aligned}$$

Criamos, portanto, a seguinte notação:

$$(y_k, y_k, w_k) = \sum_{k=1}^n w_k y_k^2$$

$$(y_k, \varphi_i, w_k) = \sum_{k=1}^n \varphi_i(x_k) y_k w_k$$

$$(\varphi_j, \varphi_i, w_k) = \sum_{k=1}^n \varphi_i(x_k) \varphi_j(x_k) w_k$$

E assim conseguimos escrever Q da seguinte forma:

$$Q(c_1, c_2, \dots, c_n) = (y, y) - 2 \sum_{i=1}^m c_i (y_k, \varphi_i, w_k) + \sum_{i,j=1}^m c_i c_j (\varphi_i, \varphi_j, w_k)$$

Derivando a função Q componente a componente e igualando a zero, de modo a achar o mínimo, obtém-se o seguinte sistema linear:

$$\left\{ \begin{array}{l} -2(y_1, \varphi_1, w_1) + 2 \sum_{j=1}^m c_j (\varphi_1, \varphi_j, w_1) = 0 \\ -2(y_2, \varphi_2, w_2) + 2 \sum_{j=1}^m c_j (\varphi_2, \varphi_j, w_2) = 0 \\ \dots \\ -2(y_m, \varphi_m, w_m) + 2 \sum_{j=1}^m c_j (\varphi_m, \varphi_j, w_m) = 0 \end{array} \right.$$

Assim, o sistema anterior corresponde a um produto interno com pesos. Convertendo o sistema linear para um sistema normal, obtém-se:

$$\begin{bmatrix} (\varphi_1, \varphi_1, w_1) & \cdots & (\varphi_1, \varphi_m, w_1) \\ \vdots & \ddots & \vdots \\ (\varphi_m, \varphi_1, w_m) & \cdots & (\varphi_m, \varphi_m, w_m) \end{bmatrix} \times \begin{bmatrix} c_1 \\ \vdots \\ c_m \end{bmatrix} = \begin{bmatrix} (y_1, \varphi_1, w_1) \\ \vdots \\ (y_m, \varphi_m, w_m) \end{bmatrix}$$

O sistema normal acima corresponde à equação:

$$B^T W B c = B^T W y$$

Sendo:

$$B = \begin{bmatrix} \varphi_1(x_1) & \varphi_2(x_1) & \dots & \varphi_m(x_1) \\ \varphi_1(x_2) & \varphi_2(x_2) & \dots & \varphi_m(x_2) \\ \vdots & \vdots & \ddots & \vdots \\ \varphi_1(x_n) & \varphi_2(x_n) & \dots & \varphi_m(x_n) \end{bmatrix}$$

$$B^T = \begin{bmatrix} \varphi_1(x_1) & \varphi_1(x_2) & \dots & \varphi_1(x_m) \\ \varphi_2(x_1) & \varphi_2(x_2) & \dots & \varphi_2(x_m) \\ \vdots & \vdots & \ddots & \vdots \\ \varphi_m(x_1) & \varphi_m(x_2) & \dots & \varphi_m(x_m) \end{bmatrix}$$

$$W = \begin{bmatrix} w_1 & 0 & \dots & 0 \\ 0 & w_2 & \dots & 0 \\ \vdots & \vdots & \ddots & \vdots \\ 0 & 0 & \dots & w_n \end{bmatrix}$$

2.2.

Ver ficheiro **[metminquadpond3.m]**. A função *metminquadpond3* recebe uma lista de funções de base, uma lista com as abcissas dos pontos a ajustar, uma lista com as ordenadas dos pontos a ajustar, e uma lista de pesos.

Devolve a aproximação segundo o método dos mínimos quadrados ponderados dos pontos a ajustar com as funções de base dadas e com os pesos dados.

2.3.

Para se conseguir construir a estrada pretendida, com base na tabela dada, utilizou-se o código do ficheiro **[relatoriomc.m]**, secção 3- Grupo 2, Alínea 1. Deu-se como *input* as listas que correspondem às coordenadas de cada cidade, a lista de habitantes de cada cidade, que vai corresponder ao peso que cada cidade vai ter, e as seguintes funções de base:

$$\phi_1(x) = 1 \quad \phi_2(x) = x \quad \phi_3(x) = x^2 \quad \phi_4(x) = x^3$$

A expressão obtida através da aplicação do método foi:

$$y = 0.99097 + 0.30471x + 0.25749x^2 - 0.012799x^3$$

O traçado da estrada obtido com base no critério dos mínimos quadrados ponderados é o seguinte:

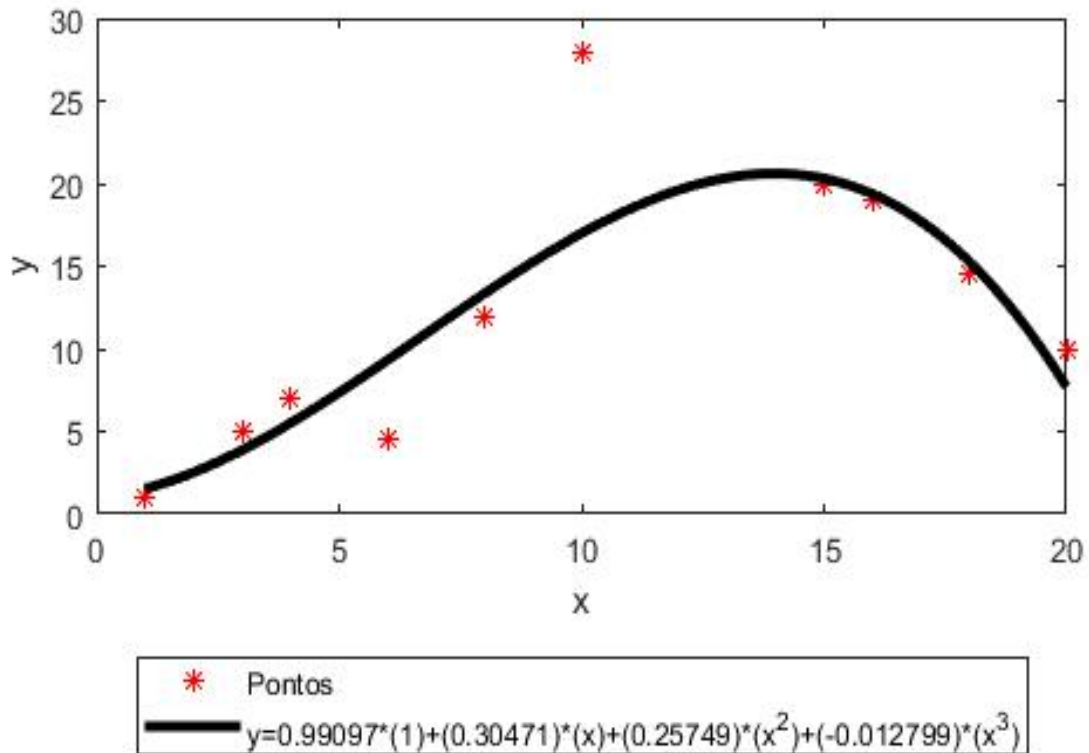


Gráfico 2 - Curva cúbica obtida através da aplicação do método dos mínimos quadrados ponderados aos pontos em estudo

3. Grupo III

3.1.

Ver ficheiro **[Simpson.m]**. A função *Simpson* recebe uma função f , dois números reais a e b , e um número natural n .

Devolve uma aproximação de $\int_a^b f(x) dx$ se dividirmos o intervalo $[a, b]$ em n subintervalos.

3.2.

Sendo $f(x) = x^{20}e^{x-1}$, como $f \in C^\infty([0,1])$, podemos utilizar o método de Simpson para aproximar o integral $\int_0^1 x^{20}e^{x-1} dx$.

A fórmula do erro para o método de Simpson é a seguinte:

$$|E_N^S(f)| \leq \frac{(b-a)^5}{180 \times N^4} \times \max_{x \in [a,b]} |f^{(4)}(x)|$$

Logo para o cálculo do n que vai dar pelo menos 12 algarismos significativos faz-se:

$$|E_N^S(f)| \leq 0.5 \times 10^{-12}$$

$$\frac{1}{180 \times N^4} \times \max_{x \in [0,1]} |f^{(4)}(x)| \leq 0.5 \times 10^{-12}$$

$$f(x) = x^{20}e^{x-1}$$

$$f'(x) = 20x^{19}e^{x-1} + x^{20}e^{x-1}$$

$$f''(x) = 380x^{18}e^{x-1} + 20x^{19}e^{x-1} + 20x^{19}e^{x-1} + x^{20}e^{x-1}$$

$$f''(x) = 380x^{18}e^{x-1} + 40x^{19}e^{x-1} + x^{20}e^{x-1}$$

$$f'''(x) = 6840x^{17}e^{x-1} + 380x^{18}e^{x-1} + 760x^{18}e^{x-1} + 40x^{19}e^{x-1} + 20x^{19}e^{x-1} + x^{20}e^{x-1}$$

$$f'''(x) = 6840x^{17}e^{x-1} + 1140x^{18}e^{x-1} + 60x^{19}e^{x-1} + x^{20}e^{x-1}$$

$$f^{(4)}(x) = 116280x^{16}e^{x-1} + 6840x^{17}e^{x-1} + 20520x^{17}e^{x-1} + 1140x^{18}e^{x-1} + 1140x^{18}e^{x-1} + 60x^{19}e^{x-1} + x^{20}e^{x-1} + 20x^{19}e^{x-1}$$

$$f^{(4)}(x) = 116280x^{16}e^{x-1} + 27360x^{17}e^{x-1} + 2280x^{18}e^{x-1} + 80x^{19}e^{x-1} + x^{20}e^{x-1}$$

Assim, como $f^{(4)}(x)$ é uma função crescente positiva:

$$\max_{x \in [a,b]} |f^{(4)}(x)| = f^{(4)}(1) = 146\,001$$

$$\frac{1}{180 \times N^4} \times 146\,001 \leq 0.5 \times 10^{-12}$$

$$N \geq 6\,346.412991 \wedge N \text{ par}$$

$$N = 6\,348$$

Considerou-se, portanto, como referência o integral calculado, com $n=6348$, através do método de Simpson que tem pelo menos 12 algarismos significativos, (variável I no código abaixo mencionado).

Para construir a tabela 2 e a tabela 3 abaixo utilizou-se o código do ficheiro **[relatoriomc.m]**, secção 4 - Grupo 3, alínea 2 (tabela 2-variável resposta32, tabela 3- variável respostalin).

Tabela 2 - Relação entre o valor do integral calculado com o método de Simpson com n variável e o seu erro absoluto

n	S_n	$ E_n $
10	0.048710762505035	0.003165878429190
20	0.045799729061692	$2.548449858462282 \times 10^{-4}$
40	0.045561934788246	$1.705071240053896 \times 10^{-5}$
80	0.045545968389068	$1.084313222557420 \times 10^{-6}$
160	0.045544952141210	$6.806536408110464 \times 10^{-8}$
320	0.045544888334545	$4.258699372317043 \times 10^{-9}$
640	0.045544884342061	$2.662154871546640 \times 10^{-10}$
1280	0.045544884092459	$1.661381449080679 \times 10^{-11}$
2560	0.045544884076858	$1.012592787397182 \times 10^{-12}$

Para calcular a ordem de convergência, sabe-se que se calcula com a equação abaixo em que p é a ordem de convergência:

$$E_h = C(h_k)^p \Leftrightarrow \ln(|E_h|) = \ln C + p \ln(h_k)$$

Procedeu-se, portanto, à linearização da equação calculando o logaritmo dos dados de forma a poder calcular o valor de p :

Tabela 3 - Logaritmo de h_k e E_h respetivamente.

$\ln(h_k)$	$\ln(E_h)$
-2.302585092994046	-5.755324717126796
-2.995732273553991	-8.274855096293384
-3.688879454113936	-10.979318572084821
-4.382026634673881	-13.734563745986305
-5.075173815233827	-16.502797356975424
-5.768320995793772	-19.274302034944892
-6.461468176353717	-22.046715033017232
-7.154615356913663	-24.820786568409640
-7.847762537473608	-27.618506958255090

Com estes dados foi possível, a partir da função do código do ficheiro **[metminquad3]**, e dando como *input* as colunas da tabela acima, uma lista w que contem os pesos todos iguais a 1, e as funções de base:

$$\phi_1(x) = 1 \quad \phi_2(x) = x$$

Assim determinou-se a seguinte equação em que p é o declive da reta:

$$y = 3.5503 + 3.9618x$$

Ora, isto vem verificar a ordem de precisão do método de Simpson visto que o valor estimado é 3.9618 e o real é 4.

3.3.

Para calcular os valores para l_k presentes na tabela 4 usou-se o código presente no ficheiro **[relatoriomc.m]**, secção 5-Grupo 3, alínea 3 (variável l_k).

Tabela 4 - Relação entre o valor de k e l_k

k	l_k
2	0.264241117657115
3	0.207276647028654
4	0.170893411885384
17	0.057191870597308
18	-0.029453670751536
19	1.559619744279189
20	-30.192394885583780
21	$6.350402925972594 \times 10^2$
25	$1.927850088325280 \times 10^8$
30	$-3.296762455608387 \times 10^{15}$
50	$-3.780092725853228 \times 10^{47}$
100	$-1.159928542966359 \times 10^{141}$

Utilizando os dois métodos para calcular o integral, observamos que os resultados obtidos são consideravelmente diferentes. No método de Simpson (S_n) obtivemos resultados semelhantes e próximos de 0,045. No entanto, com a fórmula de recorrência, obtemos um valor próximo de -30.

Esta diferença pode ser explicada pelo facto de os valores dos integrais calculados da forma recursiva dependerem do anterior e, portanto, como cada iterada tem um erro associado a ela, isso vai fazer com que cada vez haja um erro acumulado maior (amplificação do erro) e daí a discordância deste método de recorrência com o método de Simpson (mais preciso, visto ser de ordem 4).

3.4.

Pretende-se comparar os valores de números primos até um certo número x calculados com a função $Li(x) = \int_2^x \frac{dt}{\ln t}$ e com a função *primes* do Matlab. Como a função $Li(x) \in C^\infty([2, x])$, $\forall x \geq 2$, usou-se o código seguinte: **[relatoriomc.m]**, secção 6-Grupo 3, alínea 4 para construir a tabela 5 (variável comp).

Tabela 5 - Contagem de números primos através da função $Li(x)$ e da função *primes* do Matlab e erro relativo respetivo

x	Função $Li(x)$	Função <i>primes</i> do Matlab	Erro relativo
10	5	4	0.25
100	29	25	0.16
1000	176	168	0.047619047619
10000	1245	1229	0.013018714402
100000000	5797913	5761455	0.000877903237984

Comparando os dois resultados, pode-se ver que à medida que o valor máximo até ao qual se conta os números primos aumenta, o erro relativo diminui. Ora, isto vem confirmar a hipótese do enunciado que afirma que quando x (sendo x o valor até ao qual se quer contar os números primos) tende para infinito, $\frac{Li(x)}{\pi(x)}$ tende para 1.

No entanto, verificou-se que a função *primes* do Matlab, para números x muito grandes (maiores que 10^9) é inutilizável, uma vez que seria preciso gastar imensa memória, e por isso dá erro.

Não obstante, a função $Li(x)$ consegue calcular uma estimativa, independentemente do valor de x e, como o erro decresce quanto maior for x , cada vez essa aproximação é mais precisa e, portanto, a função $Li(x)$ torna-se cada vez mais uma boa alternativa para o cálculo do número de números primos.

4. Grupo IV

4.1.

O programa encontra-se no anexo **[pontomediovet.m]**. a função *pontomediovet* recebe um função $f(t, y(t))$, uma iterada inicial y_a , dois números reais a e b e um número natural n . Depois de corrida, devolve uma sucessão de iteradas calculadas a partir do método do ponto médio da solução do seguinte sistema:

$$\begin{cases} y'(t) = f(t, y(t)), t \in [a, b] \\ y(a) = y_a \end{cases}$$

4.2.

Para esboçar os gráficos correspondentes às quatro situações usou-se o código seguinte: **[relatoriomc.m]**, secção 7 - Grupo 4, alíneas a), b), c) e d).

Para cada gráfico deu-se como *input* os valores de a_i, b_i, c_i, d_i ($i = 1, 2, 3, 4$), o intervalo $[a, b] = [0, 365]$, o número de subintervalos, 365, i.e., cada iterada vai corresponder ao final de cada dia (iterada 0 corresponde ao início do primeiro dia), o vetor $y_0 = \begin{bmatrix} y_{1,0} \\ y_{2,0} \end{bmatrix}$, e a função $f_i(t, y) = \begin{bmatrix} a_i y_1 + b_i y_2 (1 - |y_2|) \\ d_i y_2 + c_i y_1 (1 - |y_1|) \end{bmatrix}$.

O *output* são os quatro gráficos seguintes, onde a linha vermelha corresponde à Julieta e a azul ao Romeu:

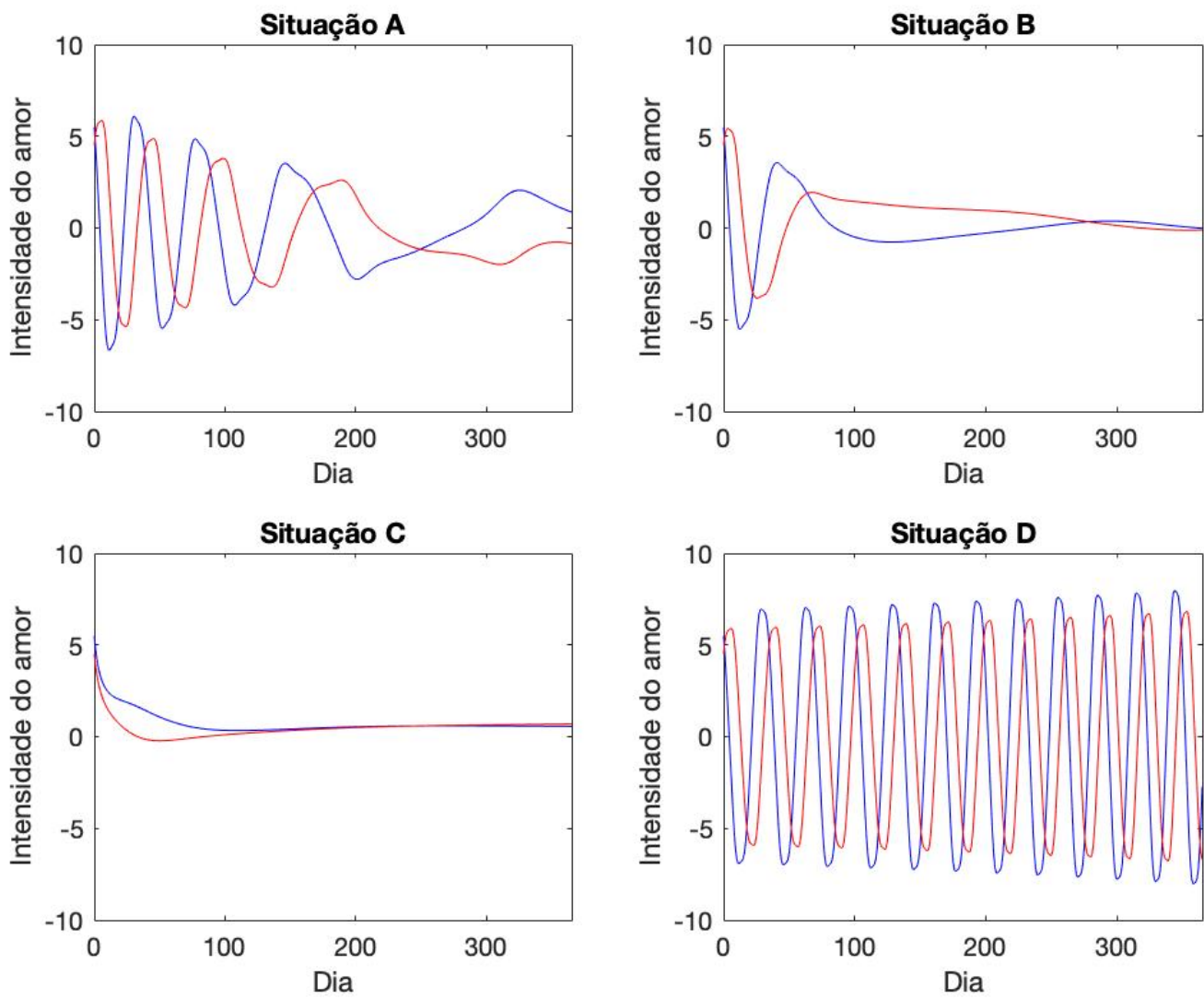


Gráfico 3 - Gráficos das 4 situações pretendidas